

01

## Взаимодействие $H$ -волны с тонким металлическим слоем с обобщенными граничными условиями

© Э.В. Завитаев,<sup>1</sup> Т.Э. Симонова,<sup>2</sup> А.И. Уткин<sup>2</sup>

<sup>1</sup>Мытищинский филиал МГТУ им. Н.Э. Баумана, 141005 Мытищи, Московская обл., Россия

<sup>2</sup>Государственный гуманитарно-технологический университет, 142611 Орехово-Зуево, Московская обл., Россия  
e-mail: aiutkin@yandex.ru

Поступило в Редакцию 2 октября 2022 г.

В окончательной редакции 18 марта 2023 г.

Принято к публикации 2 апреля 2023 г.

Рассмотрено падение электромагнитной  $H$ -волны на тонкий металлический слой под углом  $\theta$ , с учетом зависимости коэффициентов зеркальности на поверхностях тонкого слоя  $q_1$  и  $q_2$  от угла падения электронов. Проведен анализ поведения коэффициентов отражения, прохождения и поглощения в зависимости от толщины тонкого слоя  $a$ . Проведено сравнение полученных результатов с экспериментальными данными.

**Ключевые слова:** электромагнитная волна, тонкий металлический слой, проводимость, коэффициент отражения.

DOI: 10.21883/JTF.2023.06.55597.227-22

### Введение

Электромагнитные свойства тонких металлических пленок могут существенно отличаться от свойств массивных образцов [1–9]. В рассматриваемом случае толщина тонкого металлического слоя  $a$  не превышает толщины скин-слоя  $\delta$  и сравнима со средней длиной свободного пробега электронов в металле  $\Lambda$ . Известно, что толщина скин-слоя сильно зависит от частоты внешнего поля  $\omega$ : по мере роста частоты  $\delta$  уменьшается [10]. В нашем случае  $\omega$  не превышает  $7 \cdot 10^{11}$  Hz и выполняется неравенство  $a < \delta$ , поэтому скин-эффект не учитывается. Поскольку толщина тонкого слоя много больше длины волны де Бройля, которая в типичных металлах составляет величину порядка межатомного расстояния ( $\sim 0.3$  nm), то квантовыми эффектами мы можем пренебречь.

### 1. Электромагнитная $H$ -волна и тонкий металлический слой

Рассмотрим тонкий металлический слой толщиной  $a$ , коэффициентами зеркальности  $q_1$  и  $q_2$  при отражении электронов соответственно от верхней и нижней поверхности этого слоя, в случае падения на него электромагнитной  $H$ -волны под углом  $\theta$ . Поскольку вектор электрического поля электромагнитной волны параллелен поверхности тонкого слоя, то такая волна носит название  $H$ -волны. Электрическое поле электромагнитной волны параллельно координатной оси  $Y$ , координатная ось  $X$  направлена вглубь тонкого металлического слоя. Уточним, что электрическое поле  $\mathbf{E}$  однородное и пери-

одическое по времени:

$$\mathbf{E} = \mathbf{E}_0 \exp(-i\omega t).$$

Здесь  $\omega$  — частота электрического поля.

Поведение электромагнитного поля внутри тонкого металлического слоя можно описать следующей системой уравнений [11]:

$$\begin{cases} \operatorname{rot} \mathbf{H} = \mathbf{j} + \varepsilon \varepsilon_0 \frac{\partial \mathbf{E}}{\partial t}, \\ \operatorname{rot} \mathbf{E} = -\mu \mu_0 \frac{\partial \mathbf{H}}{\partial t}. \end{cases} \quad (1)$$

Здесь  $\mathbf{j}$  — плотность электрического тока,  $\mu$  и  $\mu_0$  — магнитная проницаемость среды и магнитная постоянная;  $\varepsilon$  и  $\varepsilon_0$  — диэлектрическая проницаемость среды и электрическая постоянная.

Распишем по определению ротор векторов  $\mathbf{E}$  и  $\mathbf{H}$ , оставляя только проекции  $E_y$  и  $H_z$  в соответствии с выбором координатных осей для тонкого металлического слоя:

$$\begin{aligned} \operatorname{rot} \mathbf{E} &= -\frac{\partial E_y}{\partial z} \mathbf{i} + \frac{\partial E_y}{\partial x} \mathbf{k}, \\ \operatorname{rot} \mathbf{H} &= -\frac{\partial H_z}{\partial y} \mathbf{i} + \frac{\partial H_z}{\partial x} \mathbf{j}. \end{aligned} \quad (2)$$

Поскольку в нашем случае  $\frac{\partial E_y}{\partial z} = 0$ , то первое уравнение системы (2) с учетом второго уравнения системы (1) примет вид

$$\begin{aligned} \frac{\partial E_y}{\partial x} &= -\mu \mu_0 \frac{\partial}{\partial t} H_z \\ &= -\mu \mu_0 \frac{\partial}{\partial t} H_0 \exp(-i\omega t) = \mu \mu_0 i \omega H_z. \end{aligned}$$

Таким образом, первое уравнение системы (1) в системе СИ примет окончательный вид

$$\frac{\partial E_y}{\partial x} - \mu\mu_0 i\omega H_z = 0.$$

Второе уравнение системы (2) с учетом того, что  $\frac{\partial H_z}{\partial y} = 0$  можно переписать следующим образом:

$$\frac{\partial H_z}{\partial x} = -j_y - \varepsilon\varepsilon_0 \frac{\partial}{\partial t} E_y \exp(-i\omega t).$$

Здесь  $j_y$  — проекция плотности электрического тока.

В результате аналогичных преобразований можно получить второе уравнение системы (1) в системе СИ:

$$\frac{\partial H_z}{\partial x} + i\varepsilon\varepsilon_0\omega(\sin^2\theta - 1)E_y = -j_y.$$

Здесь  $\theta$  — угол падения  $H$ -волны на тонкий металлический слой.

Таким образом, система уравнений (1) в СИ примет окончательный вид:

$$\begin{cases} \frac{\partial E_y}{\partial x} - \mu\mu_0 i\omega H_z = 0, \\ \frac{\partial H_z}{\partial x} + i\varepsilon\varepsilon_0\omega(\sin^2\theta - 1)E_y = -j_y. \end{cases} \quad (3)$$

Взаимодействие электромагнитной  $H$ -волны с тонким металлическим слоем характеризуется коэффициентами: отражения  $R$ , прохождения  $T$  и поглощения  $A$  [12]:

$$\begin{aligned} T &= \frac{1}{4} |P^k - P^l|^2, \\ R &= \frac{1}{4} |P^k + P^l|^2, \\ A &= 1 - T - R. \end{aligned} \quad (4)$$

$P^k$  и  $P^l$  связаны с поверхностными импедансами  $Z^k$  и  $Z^l$  на нижней поверхности тонкого металлического слоя и углом падения волны  $\theta$ . Они определяются следующим образом [12]:

$$\begin{aligned} P^k &= \frac{Z^k \cos\theta - 1}{Z^k \cos\theta + 1}, \\ P^l &= \frac{Z^l \cos\theta - 1}{Z^l \cos\theta + 1}. \end{aligned} \quad (5)$$

$Z^k$  соответствует антисимметричной по электрическому полю конфигурации внешнего поля:  $E_y(0) = -E_y(a)$ ,  $H_z(0) = H_z(a)$ , а  $Z^l$  — симметричной по внешнему полю конфигурации внешнего поля:  $E_y(0) = E_y(a)$ ,  $H_z(0) = -H_z(a)$ . Импеданс в обоих случаях имеет вид

$$Z^k = Z^l = \frac{E_y(0)}{H_z(0)}. \quad (6)$$

Электрическое и магнитное поля будут очень мало меняться на расстояниях меньших глубины скин-слоя ( $a < \delta$ ). В случае антисимметричной по электрическому полю конфигурации внешнего поля, когда

$H_z(0) = H_z(a)$ , можно принять величину  $H_z$  постоянной, а изменение величины электрического поля с толщиной можно определить из первого уравнения системы (3):

$$E_y(a) - E_y(0) = \mu\mu_0 i\omega a H_z. \quad (7)$$

Учет антисимметричного характера электрического поля приводит выражение (7) к виду

$$E_y(0) = -\frac{\mu\mu_0 i\omega a H_z}{2}.$$

Учитывая выражение (6) для импеданса, в случае антисимметричной по электрическому полю конфигурации внешнего поля, получим

$$Z^k = -i\mu\mu_0\omega a/2. \quad (8)$$

В случае же симметричной по электрическому полю конфигурации внешнего поля, когда  $E_y(0) = E_y(a)$ , можно принять величину  $E_y$  постоянной, а изменение величины магнитного поля с толщиной можно определить из второго выражения системы уравнений (3):

$$H_z(a) - H_z(0) = -i\varepsilon\varepsilon_0(\sin^2(\theta) - 1)E_y - \int_0^a j_y dx. \quad (9)$$

Введем электрическую проводимость, которая будет усреднена по толщине тонкого металлического слоя  $a$ :

$$\sigma_a = \frac{1}{E_y a} \int_0^a j_y(x) dx = \frac{1}{a} \int_0^a \sigma(x) dx. \quad (10)$$

Для плотности электрического тока имеем

$$j_y = \sigma(x)E_y.$$

Здесь  $\sigma(x)$  — локальная электрическая проводимость слоя.

Учитывая выражение (10) и симметрию магнитного поля, выражение (9) примет вид

$$H_z(0) = -\frac{1}{2}i\varepsilon\varepsilon_0\omega a(\sin^2(\theta) - 1)E_y + a\sigma_a E_y.$$

С учетом (6) в случае симметричной по электрическому полю конфигурации внешнего поля, получим

$$Z^l = \frac{2}{-i\varepsilon\varepsilon_0\omega a(\sin^2(\theta) - 1) + 2a\sigma_a}. \quad (11)$$

Теперь предположим, что длина волны падающего излучения существенно превосходит толщину слоя  $a$ . В этом случае будет выполняться  $\mu\mu_0\omega a \ll 1$ ,  $\varepsilon\varepsilon_0\omega a \ll 1$  или  $\mu\mu_0 2\pi c a / \lambda \ll 1$ ,  $\varepsilon\varepsilon_0 2\pi c a / \lambda \ll 1$ . Оценки длины волны  $\lambda$  и частоты электромагнитного поля  $\omega$  для рассматриваемого тонкого металлического слоя таковы:  $\lambda \sim 2.7 \cdot 10^{-3}$  м,  $\omega \sim 7 \cdot 10^{11}$  Hz.

Тогда, выражения для импедансов (8) и (11) примут вид

$$\begin{aligned} Z^k &= 0, \\ Z^l &= \frac{1}{a\sigma_a}. \end{aligned} \quad (12)$$

В соответствии с (12) выражение (5) примет вид

$$\begin{aligned} P^k &= -1, \\ P^l &= \frac{\cos\theta - a\sigma_a}{\cos\theta + a\sigma_a}. \end{aligned} \quad (13)$$

Учитывая (13) и (5), выражения для коэффициентов  $R$ ,  $T$ ,  $A$  примут вид

$$\begin{aligned} T &= \left| \frac{\cos\theta}{\cos\theta + a\sigma_a} \right|^2, \\ R &= \left| \frac{a\sigma_a}{\cos\theta + a\sigma_a} \right|^2, \\ A &= 1 - T - R, \end{aligned} \quad (14)$$

где  $\sigma_a$  имеет вид [13]:

$$\begin{aligned} \sigma_a &= \frac{3\sigma_0}{4\tau} \frac{1}{(1/\tau - i\omega)} \int_0^{\frac{\pi}{2}} \sin^3\alpha \left[ 2a \right. \\ &+ \left. \left[ -\frac{a\cos(\alpha)(\exp(-\Omega/\cos\alpha) - 1)}{\Omega} \right] \right. \\ &\times \left. \left[ \frac{q_1 [1 - \exp(-\Omega/\cos\alpha) + q_2 \exp(-\Omega/\cos\alpha)]}{1 - q_1 q_2 \exp(-2\Omega/\cos\alpha)} \right] \right. \\ &\left. + \frac{q_1 [1 - \exp(-\Omega/\cos\alpha) + q_1 \exp(-\Omega/\cos\alpha)]}{1 - q_1 q_2 \exp(-2\Omega/\cos\alpha)} \right] d\alpha. \end{aligned} \quad (15)$$

Здесь  $\sigma_0 = ne^2\tau/m$ ,  $n$  — концентрация электронов проводимости,  $e$  — электрический заряд электрона,  $\tau$  — электронное время релаксации,  $m$  — масса электрона,  $\Omega = \frac{a}{v_F} (\frac{1}{\tau} - i\omega)$ ,  $q_1$  и  $q_2$  — коэффициенты зеркальности поверхностей тонкого слоя, при отражении электронов от его поверхностей.

Связь между напряженностью электрического поля  $\mathbf{E}$  и плотностью тока  $\mathbf{j}$  в случае, когда толщина слоя  $a$  сравнима с длиной свободного пробега электронов в металле  $\lambda$ , оказывается существенно нелокальной. Для описания связи между  $\mathbf{E}$  и  $\mathbf{j}$  в работе [13] было использовано кинетическое уравнение Больцмана [14] (в приближении времени релаксации) для вырожденного ферми-газа электронов проводимости находящегося в тонком слое:

$$\frac{\partial f}{\partial t} + v_z \frac{\partial f}{\partial z} + \frac{eE}{m} \frac{\partial f_0}{\partial v_x} = -\frac{f - f_0}{\tau}.$$

Здесь  $f_0$ ,  $f$ ,  $e$ ,  $m$ ,  $v_z$ ,  $v_x$ ,  $\tau$  — соответственно функция Ферми–Дирака, функция распределения электронов при

наличии внешнего электрического поля, заряд электрона, его масса, проекции скорости электронов проводимости, электронное время релаксации.

Это уравнение можно линеаризовать по полю  $\mathbf{E}$  и по малым отклонениям  $f_1$  от равновесной функции распределения электронов Ферми–Дирака  $f_0$  ( $f = f_0 + f_1$ ) и в результате получить следующее уравнение:

$$v_z \frac{\partial f_1}{\partial z} - \frac{eE}{m} \frac{\partial f_0}{\partial v_x} - i\omega f_1 = -\frac{f_1}{\tau}. \quad (16)$$

Решая уравнение (16) с учетом зеркально-диффузных граничных условий Фукса [13,15], было получено выражение (15) для электрической проводимости тонкого металлического слоя, усредненной по толщине  $a$  этого слоя.

Однако не было учтено то, что в общем случае коэффициенты зеркальности  $q_1$  и  $q_2$  могут зависеть от угла падения электронов от поверхности тонкого слоя.

Модель зеркально-диффузных граничных условий для электронов на поверхности тонкого металлического слоя с учетом зависимости коэффициента зеркальности от угла падения электронов  $\alpha$  впервые была предложена в работе [16], где для коэффициента зеркальности  $q$  было получено выражение

$$q(\alpha) = q_0 + (1 - q_0) \exp(-b_1 \cos\alpha - b_2 \cos^2\alpha). \quad (17)$$

Здесь  $b_1$  и  $b_2$  — некоторые положительные коэффициенты, когда  $b_1 \gg 1$  и  $b_2 \gg 1$ , то  $q(\alpha) = q_0$  — получаем модель Фукса, а если  $q_0 = 0$  и  $b_2 \gg b_1$  — получаем модель Соффера.

В нашем случае с учетом того, что коэффициенты зеркальности поверхностей тонкого слоя могут быть различны, выражение (17) примет вид

$$q_1 = q_{01} + (1 - q_{01}) \exp(-b_1 \cos\alpha - b_2 \cos^2\alpha),$$

$$q_2 = q_{02} + (1 - q_{02}) \exp(-b_1 \cos\alpha - b_2 \cos^2\alpha). \quad (18)$$

Здесь  $q_{01}$  и  $q_{02}$  — значение коэффициентов зеркальности поверхностей тонкого слоя.

Таким образом, при дальнейшем анализе поведения коэффициентов отражения  $R$ , прохождения  $T$  и поглощения  $A$  необходимо в выражении (15) для проводимости тонкого слоя учитывать зависимость коэффициентов зеркальности от угла падения электронов  $\alpha$  (выражение (18)).

Рассмотрим случай толстого металлического слоя, когда его толщина  $a$  много больше средней длины свободного пробега электронов в металле  $\Lambda$ . Положим также, что  $b_1 \gg 1$  и  $b_2 \gg 1$ , тогда выражение для электрической проводимости тонкого металлического слоя  $\sigma_a$  примет вид

$$\sigma_a = a \frac{\sigma_0}{1 - i\omega\tau}.$$

Получили классический результат для проводимости толстого слоя — формулу Друде.

## 2. Обсуждение результатов

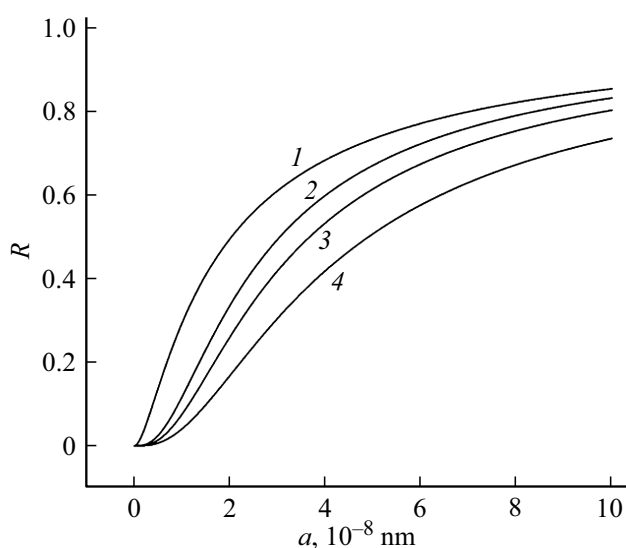
Рассмотрим поведение коэффициентов отражения  $R$ , прохождения  $T$  и поглощения  $A$  в случае медного слоя толщины  $a$ . Для дальнейших расчетов будем использовать параметры для меди из [17]. В частности, время релаксации электронов  $\tau = 1.9 \cdot 10^{-14}$  с.

Проведем сравнение полученных результатов с экспериментальными данными работы [18]. В указанной работе исследовалось удельное сопротивление тонких медных пленок. Взяв экспериментальные значения удельной проводимости тонкой медной пленки для указанной толщины, можно рассчитать экспериментальные значения коэффициентов отражения  $R$ , прохождения  $T$  и поглощения  $A$ . Полученные значения для коэффициентов  $R$ ,  $T$  и  $A$  сопоставим с теоретическими результатами настоящей работы. Уточним, что для модели Фукса значения коэффициентов зеркальностей  $q_{01}$  и  $q_{02}$  были взяты из работы [19].

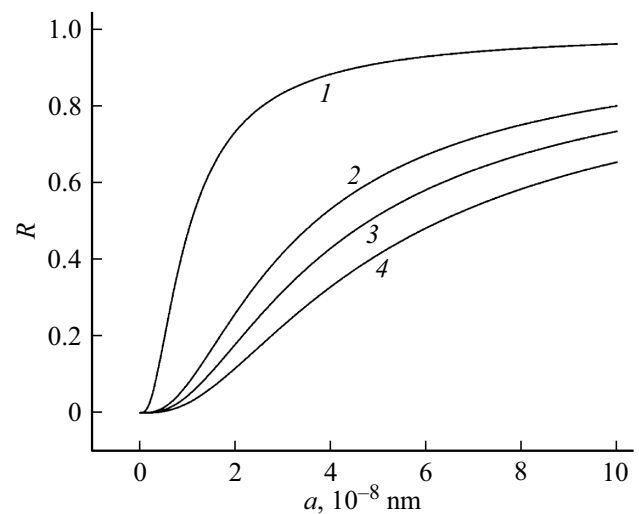
На рис. 1 видно, что вариация коэффициентов зеркальности тонкого металлического слоя оказывает существенное влияние на поведение коэффициента отражения  $R$ . С увеличением толщины тонкого металлического слоя возрастает значение коэффициента отражения  $R$ .

На рис. 2 можно наблюдать, что угол падения  $H$ -волны  $\theta$  на тонкий металлический слой также вносит существенный вклад в поведение коэффициента отражения  $R$ . В частности, чем меньше угол падения  $H$ -волны  $\theta$ , тем больше скорость возрастания коэффициента отражения  $R$ , при увеличении толщины тонкого слоя.

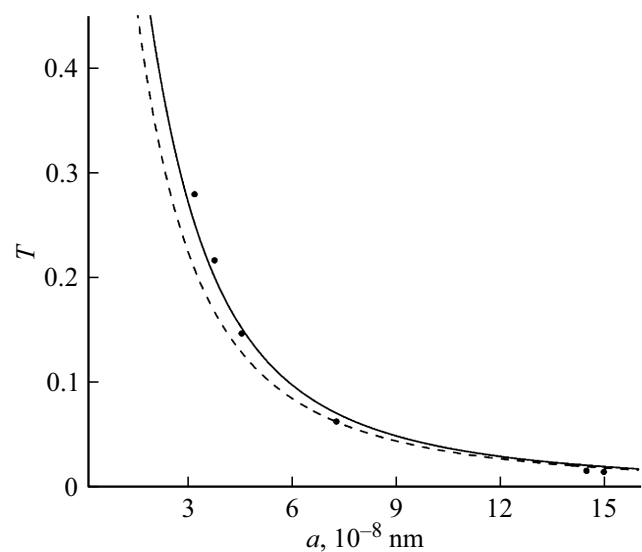
На рис. 3 проведено сравнение теоретической модели настоящей работы с экспериментальными данными ра-



**Рис. 1.** Зависимость коэффициента отражения  $R$  от толщины тонкого металлического слоя  $a$ . Для всех кривых  $\omega = 0$ ,  $\theta = 60^\circ$ ,  $b_1 = b_2 = 10$ . Кривая 1 —  $q_{01} = 1$ ,  $q_{02} = 1$ ; кривая 2 —  $q_{01} = 0.5$ ,  $q_{02} = 0.8$ ; кривая 3 —  $q_{01} = 0.3$ ,  $q_{02} = 0.5$ ; кривая 4 —  $q_{01} = 0$ ,  $q_{02} = 0$ .



**Рис. 2.** Зависимость коэффициента отражения  $R$  от толщины тонкого металлического слоя  $a$ . Для всех кривых  $\omega = 0$ ,  $b_1 = b_2 = 10$ ,  $q_{01} = 0.3$ ,  $q_{02} = 0.5$ . Кривая 1 —  $\theta = 85^\circ$ ; кривая 2 —  $\theta = 60^\circ$ ; кривая 3 —  $\theta = 45^\circ$ ; кривая 4 —  $\theta = 0^\circ$ .



**Рис. 3.** Зависимость коэффициента прохождения  $T$  от толщины тонкого металлического слоя  $a$ . Сплошная кривая — модель обобщенных граничных условий. Штриховая кривая — модель Фукса. Точки на графике — экспериментальные. Для сплошной кривой:  $\omega = 0$ ,  $\theta = 0^\circ$ ,  $b_1 = 100$ ,  $b_2 = 0$ ,  $1$ ,  $q_{01} = 0$ ,  $q_{02} = 0$ . Для штриховой кривой:  $\omega = 0$ ,  $\theta = 0^\circ$ ,  $q_{01} = q_{02} = 0.5$ .

боты [18]. В работе [18] исследовались электромагнитные свойства тонких медных пленок в статическом случае, когда  $\omega = 0$  и когда угол падения электромагнитной волны  $\theta = 0^\circ$ . Таким образом, результаты, полученные с помощью обобщенных граничных условий, лучше согласуются с данными эксперимента, по сравнению с результатами, полученными с применением граничных условий Фукса (см. таблицу).

Относительная погрешность результатов, представленных на рис. 3.

Толщина тонкого медного слоя $a$ , nm	Относительная погрешность $\Delta$ , % модель обобщенных граничных условий	Относительная погрешность $\Delta$ , % модель Фукса
31.7	12.1	35.4
37.5	9.6	33.1
45.3	2.7	15.2
72.7	9.4	0.5
145	4.2	4.1
150	4.1	4

## Заключение

Таким образом, в работе впервые получены выражения для коэффициентов отражения  $R$ , прохождения  $T$  и поглощения  $A$ , когда коэффициенты зеркальности  $q_{01}$  и  $q_{02}$  зависят от угла падения электронов. Исследовано поведение коэффициента отражения  $R$ , в случае его зависимости от толщины тонкого металлического слоя  $a$ . Вариация коэффициентов зеркальности  $q_{01}$  и  $q_{02}$  при их зависимости от угла отражения электронов вносит существенный вклад в проводимость тонкого слоя и, следовательно, в поведение коэффициентов отражения  $R$ , прохождения  $T$  и поглощения  $A$ .

В результате проделанных расчетов было установлено, что полученная теоретическая модель обобщенных граничных условий более точно описывает поведение коэффициентов отражения  $R$ , прохождения  $T$  и поглощения  $A$ , по сравнению с зеркально-диффузной моделью Фукса, если учесть, что коэффициенты зеркальности  $q_{01}$  и  $q_{02}$  зависят от угла падения электронов. В частности, результаты для коэффициента прохождения  $T$  в пределах погрешности метода расчета согласуются с данными эксперимента.

## Конфликт интересов

Авторы заявляют, что у них нет конфликта интересов.

## Список литературы

- [1] Т.А. Вартамян, Н.Б. Леонов, Е.В., С.Г. Пржибельский. Оптический журнал, **80** (2), 3 (2013). [T.A. Vartanyan, N.B. Leonov, S.G. Przhibel'skii. J. Opt. Technol., **80** (2), 3 (2013). DOI: 10.1364/JOT.80.000088]
- [2] Е.Н. Котликов, В.А. Иванов, В.Н. Прокашев. Опт. и спектр., **108** (6), 1003 (2010). [E.N. Kotlikov, V.N. Prokashev, V.A. Ivanov. Opt. Spectr., **108** (6), 1003 (2010). DOI: 10.1134/S0030400X10060196]
- [3] В.В. Каминский, В.А. Сидоров, Н.Н. Степанов, М.М. Казанин, А.А. Молодых, С.М. Соловьев. ФТТ, **55** (5), 991 (2013). [V.V. Kaminskii, N.N. Stepano, M.M. Kazanin, A.A. Molodykh, S.M. Solov'ev, V.A. Sidorov. Physics of the Solid State, **55** (5), 991 (2013). DOI: 10.1134/S106378341302011X]
- [4] Е.Н. Котликов, А.Н. Тропин. Оптический журнал, **87** (1), 56 (2020). DOI: 10.17586/1023-5086-2020-87-01-56-61 [E.N. Kotlikov, A.N. Tropin. J. Opt. Technol., **87** (1), 56 (2020). DOI: 10.1364/JOT.87.000045]
- [5] Е.В. Ващенко, И.А. Гладских, С.Г. Пржибельский, В.В. Хромов, Т.А. Вартамян. Оптический журнал, **80** (5), 24 (2013). [E.V. Vashchenko, I.A. Gladskikh, S.G. Przhibel'skii, V.V. Khromov, T.A. Vartanyan. J. Opt. Technol., **80** (5), 24 (2013). DOI: 10.1364/JOT.80.000263]
- [6] W.E. Jones, K.L. Kliewer, R. Fuchs. Phys. Rev., **178**, 1201 (1969). DOI:10.1103/PhysRev.178.1201
- [7] Ф.А. Королев, В.И. Гріднев. Радиотехника и электроника, **1718** (1965).
- [8] С.Г. Бежанов, А.А. Ионин, А.П. Канавин. ЖЭТФ, **147** (6), 1087 (2015). [S.G. Bezhanov, A.A. Ionin, A.P. Kanavin. J. Experiment. Theor. Phys., **120** (6), 937 (2015). DOI: 10.1134/S1063776115050106]
- [9] А. Паредес—Хуарес, С. Диас—Монхе, М.Н. Макаров, Ф. Перес—Родригес. Письма в ЖЭТФ, **90** (9), 687 (2009). [A. Paredes—Juarez, F. Dias—Monge, N.M. Makarov, F. Perez—Rodriguez. JETP Lett., **90** (9), 687 (2009). DOI: 10.1134/S0021364009210073]
- [10] Е.М. Лифшиц, Л.П. Питаевский. Теоретическая физика. Т.Х. Физическая кинетика (Физматлит, М., 2002)
- [11] Д.И. Пеннер, В.А. Угаров. Электродинамика и специальная теория относительности (Просвещение, М., 1980)
- [12] А.В. Латышев, А.А. Юшканов. А.А. Микроэлектроника, **41** (1), 25 (2012). [A.V. Latyshev, A.A. Yushkanov. Russian Microelectronics, **41** (1), 25 (2012). DOI: 10.1134/S1063739712010076]
- [13] А.И. Уткин, Э.В. Завитаев, А.А. Юшканов. Поверхность. Рентгеновские, синхротронные и нейтронные исследования, **9**, 85 (2016). DOI: 10.7868/S0207352816090158 [A.I. Utkin, A.A. Yushkanov, E.V. Zavitaev. Journal of Surface Investigation: X-ray, Synchrotron and Neutron Techniques, **10**, 5 (2016). DOI: 10.1134/S1027451016050153]
- [14] А.А. Абрикосов. Основы теории металлов: учебное руководство (Наука, М., 1987)
- [15] А.В. Латышев, А.А. Юшканов. Энциклопедия низкотемпературной плазмы. (Янус-К, М., 2008), т. VII-1, гл. 10.
- [16] Ф.А. Каримов, А.А. Юшканов. Вестник МГОУ. Серия: Физика-математика, **1**, 50 (2020). DOI: 10.18384/2310-7251-2020-1-50-56
- [17] Н. Ашкрофт, Н. Мермин. Физика твердого тела (Мир, М., 1979), т. 1.
- [18] Sun Tik, Yao Bo, P. Warren Andrew, Kumar Vineet, Roberts Scott, Barmak Katayun, R. Coffey Kevin. J. Vac. Sci. Technol. A, **26**, 605 (2008). DOI: 10.1116/1.2938395
- [19] A. Bid, A. Bora, A.K. Raychaudhuri. Phys. Rev. B, **74**, 035426-1-9 (2006).